

# Metodo dello Spazio di Krylov e Applicazione al Modello di Ising Quantistico 1D

Manuel Strazzullo

Dipartimento di Fisica, Università di Pisa

5 gennaio 2026

## Sommario

In questo lavoro vengono introdotti i metodi algoritmici basati sulla costruzione dello spazio di Krylov, necessari per la trattazione computazionale dei sistemi quantistici interagenti a molti corpi; viene fornita un'implementazione tramite codice Python e ne viene testata l'efficienza. Un'implementazione più complessa di questi metodi in Fortran, basata sull'algoritmo Davidson, viene utilizzata per verificare alcune proprietà dello stato fondamentale per il modello di Ising quantistico in una dimensione: in particolare vengono analizzate le spaziature dei primi livelli energetici e l'andamento del parametro d'ordine vicino alla transizione di fase.

## 1 Introduzione alla diagonalizzazione esatta

### Motivazione

In fisica statistica e dello stato condensato capita spesso di doversi interfacciare con sistemi che, data la loro natura quantistica, sono esponenzialmente complessi da simulare numericamente. Prendiamo come esempio un sistema di  $N$  particelle di spin 1/2 su un reticolo unidimensionale, in cui ogni particella occupa un sito e ha un'orientazione di spin  $|\uparrow\rangle$  o  $|\downarrow\rangle$ ; la dimensione dello spazio di Hilbert del problema (e quindi la dimensione della funzione d'onda) sarà

$$\text{Dim}(\mathcal{H}) = 2^N$$

mentre una eventuale rappresentazione matriciale degli operatori (l'esempio rilevante è l'operatore Hamiltoniano  $\hat{H}$ ) avrà dimensione

$$\text{Dim}(\hat{H}) = 2^N \times 2^N.$$

e sarà spesso una qualche matrice "sparsa" in cui molti elementi sono nulli, a causa della struttura tensoriale dello spazio di Hilbert del problema. Spesso in problemi di questo tipo siamo interessati allo spettro e alle funzioni d'onda dei primi stati dell'Hamiltoniana, che vorremmo quindi portare in forma matriciale e diagonalizzare, processo che richiede tempi e risorse computazionali non indifferenti già per  $N = O(10)$ . Verifichiamo come ad esempio i tempi di calcolo che il computer impiega, usando il pacchetto *scipy.linalg*, a diagonalizzare matrici casuali con  $N = O(10)$  (tralasciando di trovare gli autovettori) con metodi come la decomposizione di Schur o il *divide – and – conquer*: se per  $N = 10$  il tempo necessario  $\tau$  è  $\sim 0.5s$ , con  $N = 13$  si arriva già a  $\tau \sim 130s$ . Vorremmo allora trovare dei metodi computazionali che velocizzino il processo di diagonalizzazione, magari usando il fatto che le matrici sono sparse e non necessitano di essere immagazzinate nella loro interezza.

### Teoria

Il metodo dello spazio di Krylov è una costruzione algoritmica che permette la diagonalizzazione approssimata di matrici sparse di grandi dimensioni. Lo spazio di Krylov di dimensione  $D$ , per la matrice che vogliamo diagonalizzare  $\hat{H}$ , è definito come

$$\mathcal{K}^D(|\phi_0\rangle) = \text{span}(|\phi_0\rangle, \hat{H}|\phi_0\rangle, \dots, \hat{H}^{D-1}|\phi_0\rangle) \quad (1)$$

ed è costruito applicando iterativamente l'operatore  $\hat{H}$  a uno stato casuale e normalizzato nello spazio di Hilbert del problema, ottenendo stati che vengono ortonormalizzati rispetto a tutti i precedenti. Si trova che  $\hat{H}$  può essere espresso come

$$\hat{H}|\phi_n\rangle = b_n|\phi_{n-1}\rangle + a_n|\phi_n\rangle + b_{n+1}|\phi_{n+1}\rangle \quad (2)$$

ovvero l'Hamiltoniana è tridiagonale sullo spazio di Krylov.

$$\hat{H} = \begin{bmatrix} a_0 & b_1 & 0 & \cdots & 0 \\ b_1 & a_1 & b_2 & \cdots & 0 \\ 0 & b_2 & a_2 & \cdots & 0 \\ \vdots & \vdots & \vdots & \ddots & \vdots \\ 0 & 0 & 0 & \cdots & a_D \end{bmatrix}$$

Ciò che è possibile fare a questo punto è diagonalizzare la matrice su questo spazio per ottenere un'approssimazione dei primi autovalori e autovettori; ciò deriva dal fatto che la moltiplicazione ripetuta per la matrice  $\hat{H}$  aumenta il peso degli autovalori più grandi (in modulo). L'algoritmo Lanczos utilizza una logica simile, diagonalizzando una matrice su uno spazio a dimensione fissata generato da  $(|\phi\rangle, \hat{H}|\phi\rangle)$  e iterando la procedura a partire dall'autovettore trovato corrispondente all'autovalore minore.

Nell'analisi numerica successiva useremo il metodo di Jacobi-Davidson, che si differenzia dal metodo di Krylov nella costruzione del sottospazio approssimativo (che viene costruito a partire da vettori ortogonali agli autovettori approssimati), ma utilizza comunque la stessa logica; per costruire il sottospazio rilevante non è necessario immagazzinare la matrice per intero, ma solo conoscere come essa agisce sui vettori di partenza, risparmiando risorse computazionali ingenti.

## Implementazione e verifica

Nonostante il fatto che non useremo il metodo di Krylov, ma uno leggermente più sofisticato, vogliamo comunque verificare l'accuratezza e le capacità del metodo "base" tramite una nostra implementazione.

Il codice Python in appendice implementa la costruzione algoritmica dello spazio di Krylov per una matrice IN, che riempiamo con numeri interi casuali nell'intervallo  $[-30, 30]$ ; il fatto che la matrice non sia sparsa non altera il funzionamento dell'algoritmo, che comunque è preferibile usare nel caso in cui immagazzinare l'intera matrice sia molto più dispendioso che calcolare  $\hat{H}|\phi\rangle$  (appunto nel caso di matrici sparse). In ogni caso, il corretto funzionamento dell'algoritmo in questa situazione garantisce il funzionamento atteso nel caso più banale delle matrici sparse. Le matrici IN sono poi rappresentate nella base di Krylov, ottenendo matrici tridiagonali  $T$ ; infine calcoliamo grazie a `scipy.linalg.eigvalsh` gli autovalori esatti (dalla matrice di partenza IN) e gli autovalori approssimati (dalla matrice tridiagonale  $T$ ). Gli errori assoluti per diverse dimensioni dello spazio di Krylov sono riportati in Fig. 1.

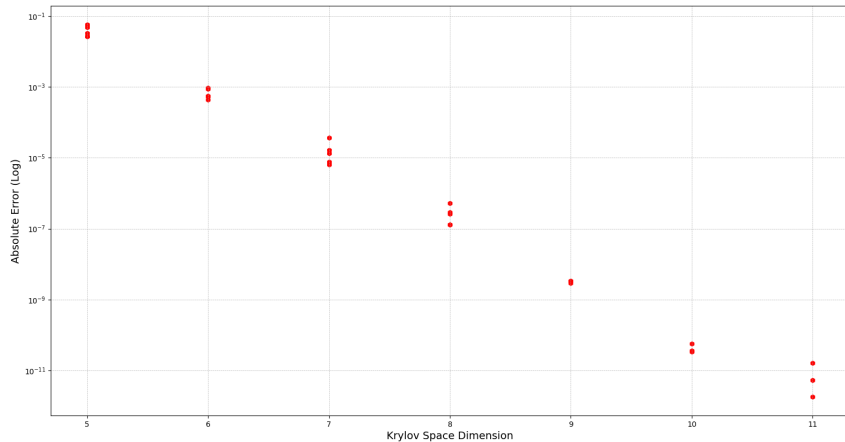


Figura 1: Errore assoluto sullo stato fondamentale di matrici casuali al variare della dimensione dello spazio di Krylov, calcolato con il codice in appendice; l'andamento medio è chiaramente esponenziale.

Per ogni dimensione  $D$  dello spazio di Krylov sono state effettuate da due a quattro prove, la cui media ha andamento esponenzialmente decrescente, con una precisione eccellente già per dimensione dello spazio di Krylov  $D = 10$ . L'autovalore minimo, dato l'intervallo scelto sopra per la generazione delle matrici, vale in media  $\approx -4160 \pm 20$  e il tempo di calcolo totale per ciascuno dei processi è  $\sim 20s$ , con il  $\sim 97\% (\sim 19.5s)$  del tempo impiegato per diagonalizzare la matrice iniziale contro  $\sim 0.5s$  per diagonalizzare la matrice approssimata.

Notiamo il fatto che le implementazioni usate in genere per l'analisi numerica sono ulteriormente ottimizzate dagli algoritmi scelti per diagonalizzare la matrice tridiagonale, che sfruttano ulteriori simmetrie delle matrici da

diagonalizzare; tuttavia la nostra verifica mostra l'accuratezza del metodo di Krylov, che riguarda la costruzione del sottospazio approssimato più che la diagonalizzazione delle matrici in sè.

## 2 Analisi numerica della catena di spin quantistica

Tramite l'algoritmo Davidson, vogliamo ora effettuare alcune misure sul modello di Ising 1D, in cui a ogni sito di una catena è associata una particella quantistica di spin  $1/2$ ; l'Hamiltoniana del modello è

$$\hat{H}(J, h, g) = -J \sum_{\langle i,j \rangle} \hat{\sigma}_i^z \hat{\sigma}_j^z - h \sum_i \hat{\sigma}_i^z - g \sum_i \hat{\sigma}_i^x \quad (3)$$

in cui  $\hat{\sigma}_i^{k=x,y,z}$  è la matrice di Pauli corrispondente al sito  $i$ -esimo,  $\langle i,j \rangle$  indica la somma sui primi vicini e  $J, g, h$  quantificano rispettivamente l'accoppiamento tra due siti ( $J$ ) e l'interazione con campi esterni con direzione ortogonale ( $g$ ) e parallela ( $h$ ) alla direzione di accoppiamento degli spin (in questo caso fissata lungo  $\hat{z}$ ).

Come verifica dell'utilità dei metodi di diagonalizzazione esposti sopra, riportiamo i tempi di calcolo necessari alla diagonalizzazione numerica dell'Hamiltoniana tramite metodo di Davidson per diverse lunghezze  $L$  del sistema, avendo imposto  $h = 0$ ,  $g = 0.75$  e condizioni al bordo periodiche; l'andamento esponenziale è riportato in Fig. 2.

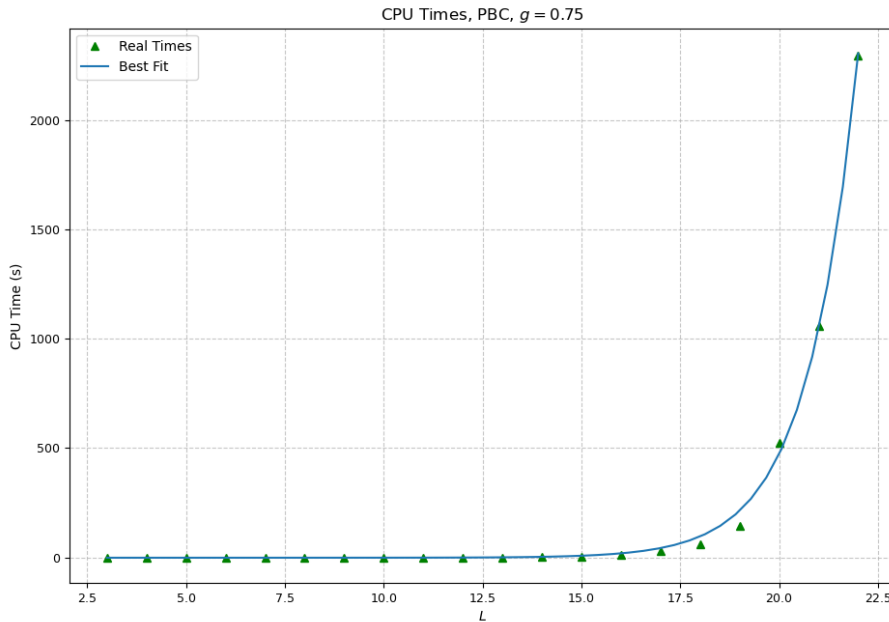


Figura 2: Tempi di calcolo al variare della lunghezza  $L$  della catena; l'andamento è  $\sim e^{\frac{L}{R}}$ , con  $1/R \simeq 8$ .

Assumendo che l'andamento temporale esponenziale sia lo stesso che presentano gli algoritmi di diagonalizzazione completa, possiamo stimare che per  $N = 20$  i tempi di calcolo sarebbero stati  $\sim 500s \cdot 40 \approx 33$  min per una sola misura, il che mostra la comodità degli algoritmi basati sul metodo di Krylov e simili.

### Spaziature dei primi livelli energetici

In questa sottosezione poniamo  $h = 0$ , ovvero campo longitudinale nullo.

Vogliamo a questo punto usare i metodi di diagonalizzazione introdotti in precedenza per verificare alcune proprietà dei primi livelli energetici del modello di Ising. Avendo posto il campo longitudinale uguale a zero, il modello è esattamente risolvibile tramite la trasformazione di Jordan-Wigner, che permette di mappare il modello in un modello fermionico con Hamiltoniana

$$\hat{H} = \frac{1}{2} \sum_j \epsilon_j \hat{\gamma}_j^\dagger \hat{\gamma}_j + \text{cost.} \quad (4)$$

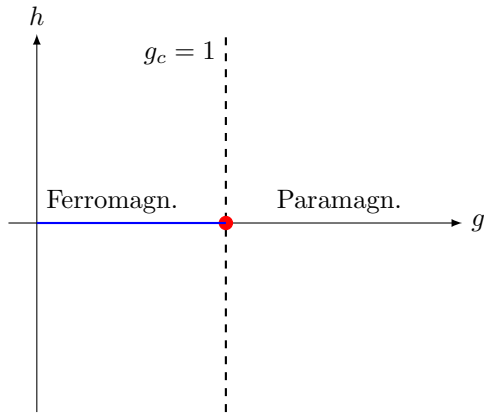


Figura 3: Diagramma di fase per il modello di Ising quantistico; avendo posto  $h = 0$ , il passaggio per il punto  $g_c = 1$  implica una transizione di fase, che si manifesta con diversi andamenti delle spaziature energetiche nelle due regioni  $g \geq 1$ .

che decomponе il sistema in modi normali  $\hat{\gamma}_j^\dagger$ , i quali si comportano come fermioni (quasiparticelle di Bogoliubov). Da questa Hamiltoniana è possibile ricavare una relazione di dispersione per le  $\epsilon_j$

$$\epsilon_j = \sqrt{1 + g^2 - 2g\cos\left(\frac{2\pi j}{L}\right)} \quad (5)$$

che racchiude l'andamento degli autovalori del sistema iniziale.

Vogliamo osservare l'andamento delle spaziature energetiche

$$\Delta_0 = E_1 - E_0 \quad \Delta_1 = E_2 - E_0$$

in funzione del campo trasverso  $g$  e al crescere della dimensione  $L$ , per verificare che il sistema approcci l'andamento noto per il limite termodinamico  $L \rightarrow \infty$ .

Riportiamo in Fig. 3 il diagramma di fase del modello, che fornisce una spiegazione quantitativa del fatto che nelle regioni  $g \geq 1$  si osservano andamenti diversi per le spaziature: per  $g < 1$  siamo nella fase ferromagnetica (ordinata), mentre per  $g > 1$  siamo nella fase paramagnetica (disordinata).

La scelta delle condizioni al bordo (periodiche, PBC, o aperte, OBC) diventa rilevante a questo punto, poiché le diverse simmetrie del sistema risultano in andamenti diversi per le energie nel limite termodinamico; in seguito (Fig. 4 per OBC e Fig. 5 per PBC) riportiamo i risultati per entrambe le scelte.

Partiamo dal commentare le spaziature  $\Delta_0$ , che nella regione  $g < 1$  assumono andamenti simili per entrambe le condizioni al bordo

$$\Delta_{0,PBC} \sim \frac{g^L}{\sqrt{L}} \sqrt{1 - g^2} \quad \Delta_{0,OBC} \sim g^L (1 - g^2) \quad (6)$$

ovvero le spaziature sono esponenzialmente soppresse in  $L$  quando  $g \rightarrow 0$ ; per  $g > 1$  si può ricavare dall'Hamiltoniana in Eq. 4 che, per entrambe le scelte di condizioni al bordo,

$$\Delta_0 \approx 2(g - 1). \quad (7)$$

E' anche noto il fatto che, sempre per  $g > 1$ , anche la spaziatuра  $\Delta_1$  segue lo stesso andamento asintotico (sia con OBC che con PBC), poichè vale la stessa relazione di dispersione.

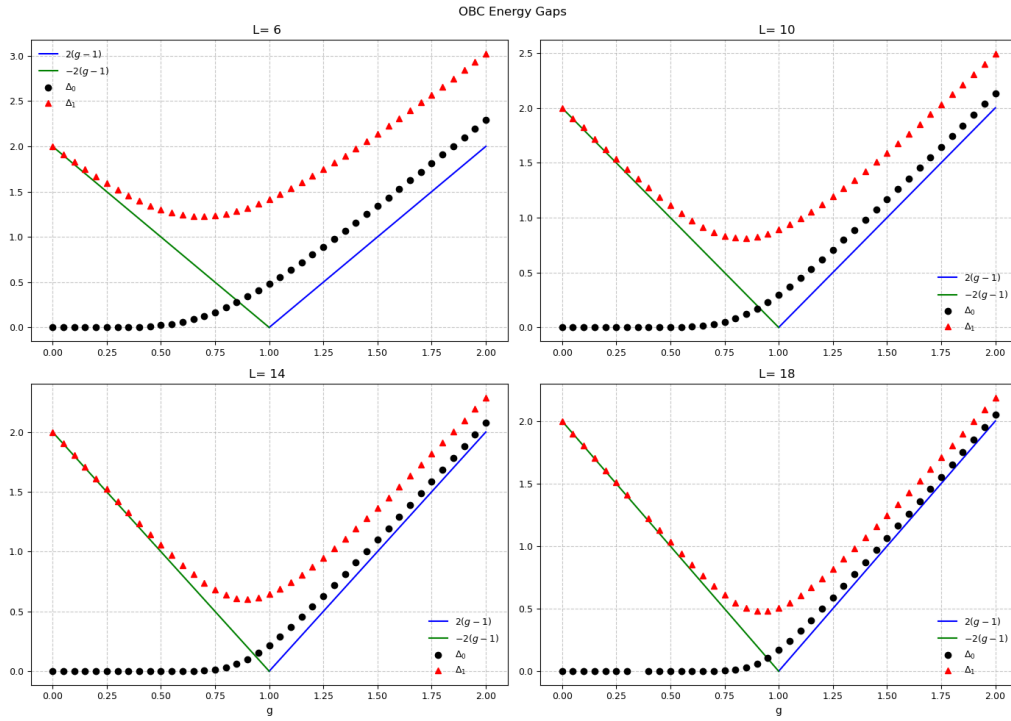


Figura 4: Prime spaziature energetiche  $\Delta_0 = E_1 - E_0$ ,  $\Delta_1 = E_2 - E_0$ , per varie lunghezze  $L$  della catena con condizioni al bordo aperte, al variare del campo trasverso  $g$ ; i rispettivi andamenti nel limite termodinamico (notare che  $\Delta_0$  e  $\Delta_1$  hanno lo stesso asintoto per  $g > 1$ ) sono riportati in legenda.

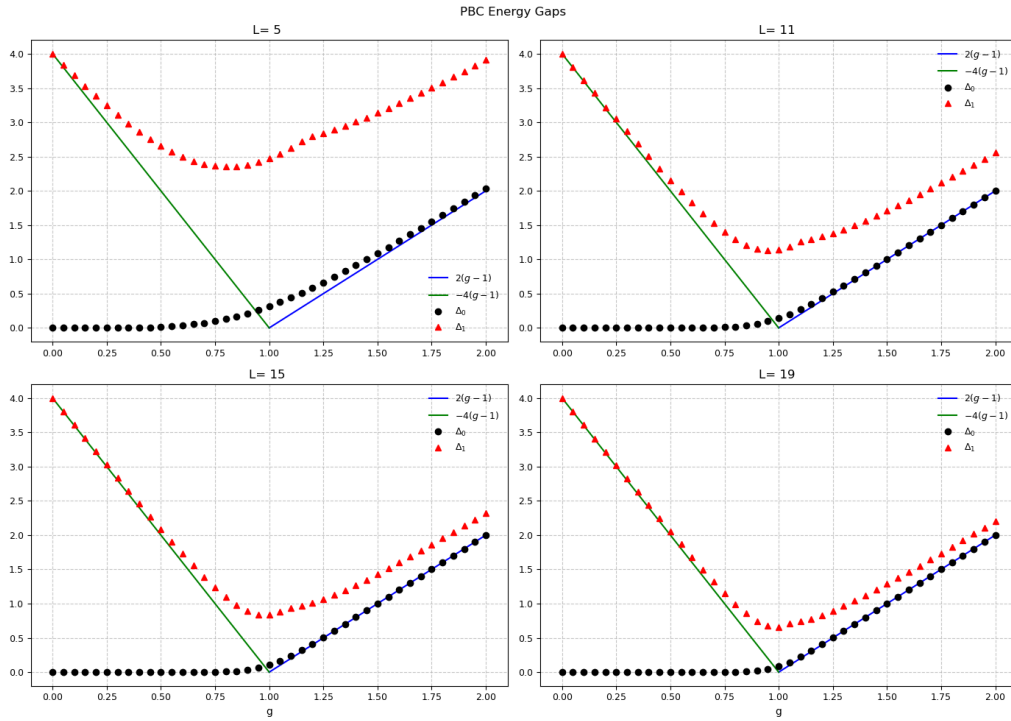


Figura 5: Prime spaziature energetiche  $\Delta_0 = E_1 - E_0$ ,  $\Delta_1 = E_2 - E_0$ , per varie lunghezze  $L$  della catena con condizioni al bordo periodiche, al variare del campo trasverso  $g$ ; come nel caso OBC, le spaziature tendono al valore atteso per  $L \rightarrow \infty$ .

Per quanto riguarda  $\Delta_1$  nella regione ferromagnetica, a causa delle diverse simmetrie l'andamento va differenziato tra OBC e PBC, trovando

$$\Delta_{1,PBC} \approx -4(g-1) \quad \Delta_{1,OBC} \approx -2(g-1). \quad (8)$$

E' visibile a questo punto come in tutti i casi, per  $g = 1$  (punto critico), le spaziature tendano a zero nel limite termodinamico. Le energie dei primi stati dello spettro sono state calcolate con un codice Fortran (riportato in appendice) che fa uso dell'algoritmo Davidson e che, fissata la lunghezza  $L$  e il valore di  $g$ , consente di trovare le informazioni rilevanti utilizzando risorse computazionali ridotte, a patto di saper codificare  $\hat{H} |\psi_{in}\rangle = |\psi_{out}\rangle$ ; in appendice è inoltre riportato un codice Bash utilizzato per automatizzare alcune misure.

Gli andamenti osservati in Fig 4. e 5. mostrano come, al crescere di  $L$ , le spaziature tendano ai risultati attesi nel limite termodinamico.

Un'ultima verifica che possiamo fare sulle spaziature riguarda ancora  $\Delta_0$ : in Fig. 6 riportiamo  $\Delta_0$ , al variare di  $L$  e per valori di  $g$  fissati, in modo da esplorare le fasi ordinate, disordinate e il punto critico  $g = 1$ .

Vorremmo osservare il decadimento esponenziale in  $L$  delle spaziature, ovvero

$$\Delta_{0,g<1} \sim e^{-L/\xi(g)} \quad \Delta_{0,g>1} \sim 2(g-1) + e^{-L/\xi(g)} \quad (9)$$

dove  $\xi(g)$  è la lunghezza di correlazione del sistema, per la quale vale

$$\xi(g) \sim |g - g_c|^{-\nu} \quad (10)$$

e che rimane finita lontano dal punto critico  $g = g_c$ . Per  $g = g_c = 1$  possiamo usare un *guess*

$$\Delta_0(g) \sim L^{-z} \sim \xi(g) \sim |g - g_c|^{-\nu} \quad (11)$$

per cui dovrebbe valere, mappando il modello quantistico 1D sul modello classico 2D,  $z = \nu = 1$ . Un fit per la legge di potenza su  $L \geq 13$ , al valore critico  $g = 1$ , restituisce  $z = 1.004(2)$  in accordo con la nostra ipotesi; la precisione del fit è deducibile dal fatto che esso rimane stabile non considerando i punti  $L = 14, 15, 16$ .

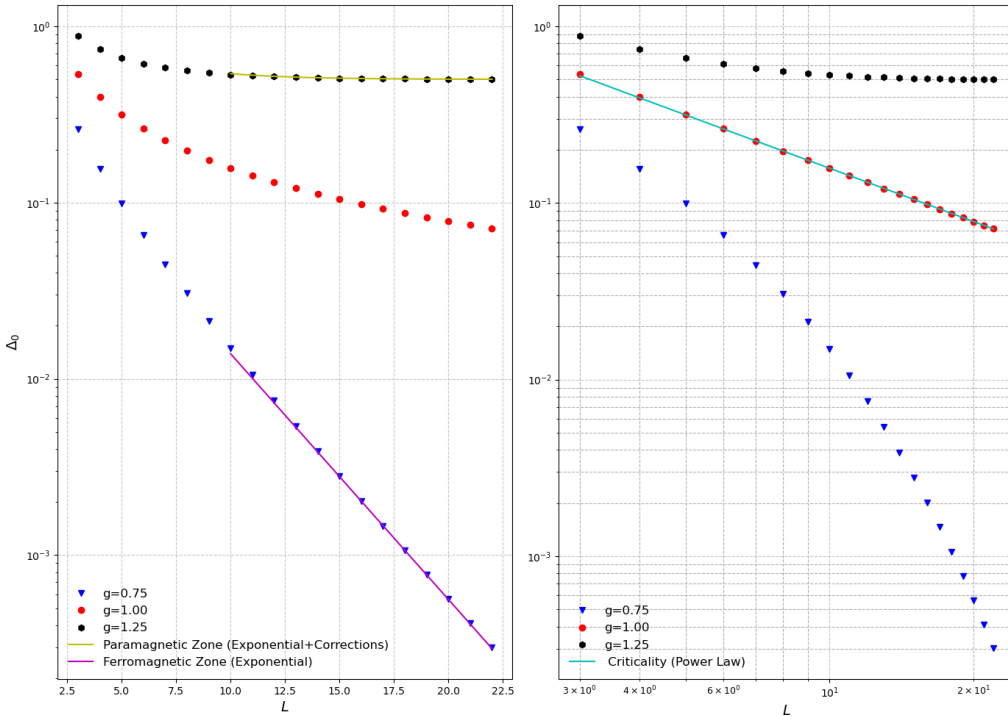


Figura 6: Prima spaziatura  $\Delta_0$  per valori del campo trasverso  $g$  nelle tre zone del diagramma di fase, in cui a sinistra la scala è *lin-log*, in cui sono chiaramente visibili gli esponenziali, mentre a destra è *log-log*, in cui è chiaramente visibile la legge di potenza.; il fit al punto critico  $g = 1$  restituisce esponente critico  $z = 1.004(2)$ , mentre lontano dal punto critico l'andamento approssima quello aspettato nel limite termodinamico.

In questa sottosezione abbiamo dimostrato l'affidabilità e la precisione dei metodi basati sullo spazio di Krylov, almeno per quanto riguarda la parte di calcolo degli autovalori.

## Parametro d'ordine $\Psi$ , pseudo-parametro d'ordine $\bar{\Psi}$

Vogliamo ora verificare l'affidabilità dell'algoritmo per quanto riguarda la ricerca degli autovettori dei primi stati dello spettro; come già fatto sopra, useremo un aspetto del modello di Ising per testare i nostri metodi.

Nel modello di Ising la fase ferromagnetica è caratterizzata dalla rottura della simmetria  $\mathbb{Z}_2$  di inversione (lungo la direzione di accoppiamento  $\hat{z}$ ) di tutti gli spin; la rottura della simmetria può essere quantificata attraverso un parametro d'ordine  $\Psi$ . Il parametro d'ordine, per una catena composta da siti che indichiamo con l'indice  $j$ , è dato dalla magnetizzazione longitudinale calcolata sullo stato fondamentale  $\Psi_0$

$$\Psi \equiv \langle \Psi_0 | \hat{m}_z | \Psi_0 \rangle = \frac{1}{L} \sum_j \langle \Psi_0 | \hat{\sigma}_z^j | \Psi_0 \rangle \quad (12)$$

che, nel limite termodinamico e nella fase  $g < 1$ , assume valori non nulli a causa della rottura della simmetria  $\mathbb{Z}_2$ .

Solitamente, a causa delle possibili simmetrie (in particolare della simmetria generale dell'Hamiltoniana  $\mathbb{Z}_2$  in assenza di campo trasverso), sono presenti delle sottigliezze nella scelta e nel calcolo del parametro d'ordine; ma, ponendo a questo punto  $g = 1$ , la magnetizzazione longitudinale definita come in Eq. 12 quantifica correttamente la rottura di simmetria del sistema. Riferendosi al diagramma di fase in Fig. 3, si ha che il sistema attraversa la linea di transizione per  $h \rightarrow 0$ , con andamento teorico atteso

$$\Psi(g=1) \sim h^{1/\delta}$$

dove  $\delta = 15$  è un esponente critico della classe di universalità Ising classico 2D.

In Fig. 7 è riportato il parametro d'ordine, calcolato come in Eq. 12, al variare del campo trasverso  $h$ , sullo stato fondamentale trovato grazie al codice che implementa il metodo di Davidson; i dati mostrano che al crescere di  $L$  il sistema si avvicina all'andamento teorico nel limite termodinamico.

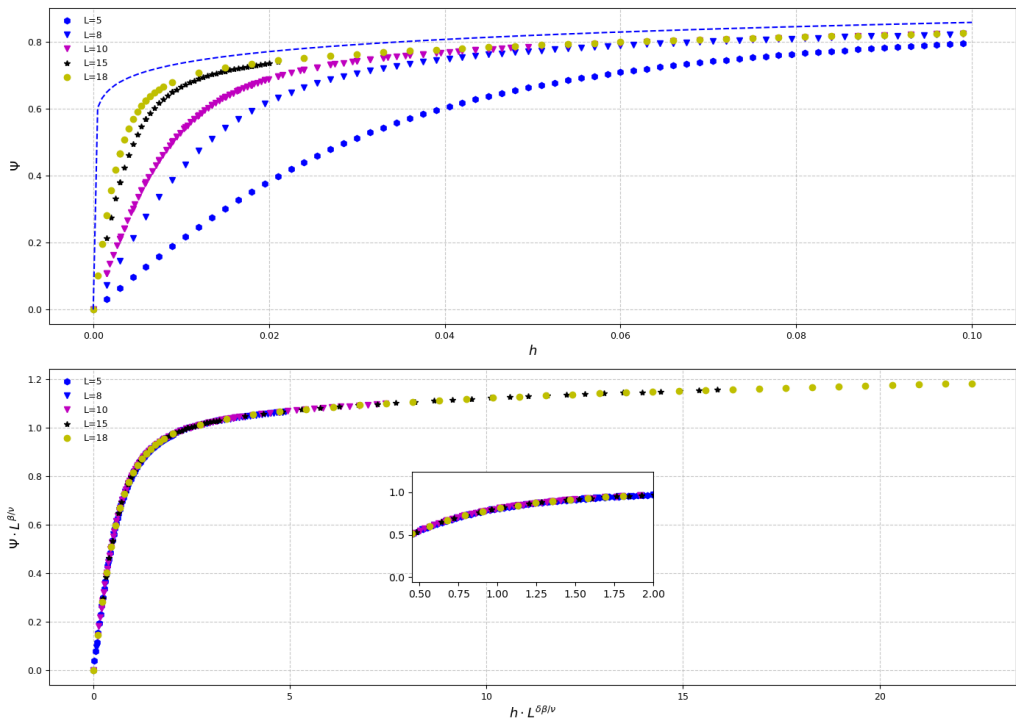


Figura 7: Sopra, parametro d'ordine  $\Psi$  per il valore critico  $g = 1$ , al variare del campo longitudinale  $h$ , per diversi valori di  $L$  e andamento teorico (linea blu tratteggiata); in basso, FSS con gli esponenti critici noti per classe di universalità del modello di Ising classico 2D  $\beta = 1/8$ ,  $\nu = 1$ ,  $\delta = 15$ .

Come ulteriore verifica, osserviamo il *finite size scaling* del parametro d'ordine con gli esponenti critici noti per il modello: dalla teoria sappiamo che, vicino al punto critico,

$$\Psi \approx L^{-\beta/\nu} \Psi_u(h L^{\delta\beta/\nu}) \quad (13)$$

a meno di correzioni dipendenti dalla dimensione del sistema e dove  $\Psi_u$  è una funzione nota. Riscalando opportunamente i dati per diversi  $L$ , dovremmo osservare un andamento universale del parametro d'ordine ('collasso' dei punti in un'unica curva); il collasso è riportato in Fig. 7 e le correzioni non sono visibili a occhio.

Poniamo ora  $h = 0$  (campo longitudinale nullo), andando a ristabilire la simmetria  $\mathbb{Z}_2$  del modello. Come riportato sopra, il parametro d'ordine  $\Psi$  definito come in Eq. 12 e calcolato sullo stato fondamentale è identicamente nullo, ma definendo uno pseudo-parametro d'ordine

$$\bar{\Psi} = \sum_k |a_k|^2 |\langle k | \hat{m}_z | k \rangle| \quad (14)$$

calcolato sullo stato fondamentale decomposto nella base computazionale come  $|\Psi_0\rangle = \sum_k a_k |k\rangle$ , possiamo ottenere l'andamento corretto per la magnetizzazione al variare di  $g$ , almeno in prossimità del punto critico  $g_c = 1$ . In Fig. 8 è riportato l'andamento di  $\bar{\Psi}$  al variare di  $g$ , fissato  $h = 0$  (muovendosi quindi l'asse delle ascisse nel diagramma in Fig. 3), e il FSS con gli esponenti critici noti per il modello di Ising classico 2D; tutto è stato calcolato con lo stato fondamentale trovato con l'algoritmo Davidson. L'andamento atteso, nel limite termodinamico e nelle vicinanze del punto critico, è

$$\Psi(g) \sim (g_c - g)^\beta \quad g < g_c$$

$$\text{e } \Psi(g) = 0 \text{ per } g > g_c.$$

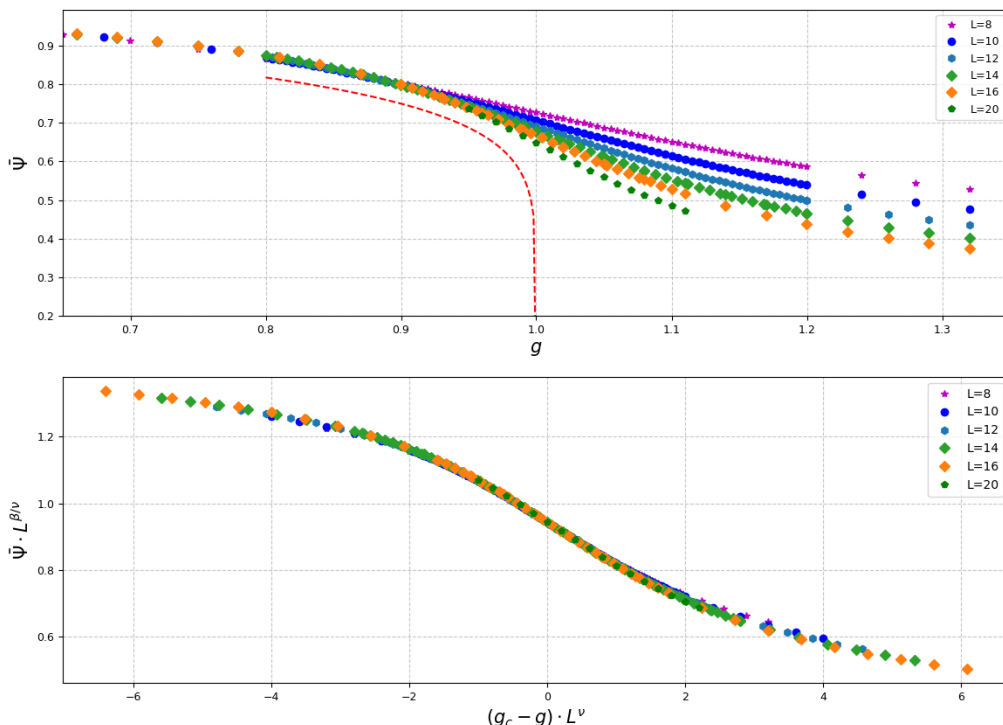


Figura 8: Sopra, parametro d'ordine  $\bar{\Psi}$  per il valore  $h = 0$ , al variare del campo trasverso  $g$ , per diversi valori di  $L$  e andamento teorico (linea rossa tratteggiata); in basso, FSS con gli esponenti critici noti per classe di universalità del modello di Ising classico 2D. Il collasso dei punti nel FSS è ottimo, e l'andamento atteso di parametro nullo nella regione paramagnetica e legge di potenza approcciando il punto critico da sinistra è visibile all'aumentare della taglia del sistema.

Abbiamo dunque verificato che il metodo Davidson restituisce la funzione d'onda corretta per lo stato fondamentale, dimostrandosi in generale un ottimo strumento di calcolo nella diagonalizzazione esatta dei sistemi quantistici a molti corpi.

## Appendice: codici

```
1
2 import scipy as sp
3 import numpy as np
4
5 dim_hilbert = 2**10
6 dim_krylov = 80
7
8 def lanczos(IN, v, k):
9     """
10        Algoritmo Lanczos-Like (per matrici simmetriche)
11
```

```

12     Parametri
13     -----
14     IN : (n, n) matrice reale simmetrica
15
16     v : (n,) vettore di partenza
17
18     k : intero, dimensione dello spazio di Krylov
19
20     Ritorna
21     -----
22     B : (n, k) base ortonormale
23
24     T : (k, k) matrice tridiagonale che approssima la matrice di partenza
25
26     """
27     n = IN.shape[0]
28     B = np.zeros((n, k), dtype=IN.dtype)
29     T = np.zeros((k, k), dtype=IN.dtype)
30
31     v = v / np.linalg.norm(v)
32     B[:, 0] = v
33     w = IN @ v
34     a = np.vdot(v, w)
35     T[0, 0] = a
36     w = w - a * v
37     b = np.linalg.norm(w)
38
39     for j in range(1, k):
40         if b < 1e-12:           #se converge prima si ferma
41             return B[:, :j], T[:j, :j]
42         v_next = w / b
43         B[:, j] = v_next
44         w = IN @ v_next - b * B[:, j - 1]
45         a = np.vdot(v_next, w)
46         w = w - a * v_next
47         T[j, j] = a
48         T[j, j - 1] = T[j - 1, j] = b
49         b = np.linalg.norm(w)
50
51     return B, T
52
53
54 #inizializzo la matrice (simmetrica) e il vettore iniziale (la funzione lo normalizzao)
55 start_mat = np.random.randint(-3,3, (dim_hilbert, dim_hilbert))
56 start_mat = (start_mat + start_mat.T)
57 start_mat = start_mat.astype(float)
58 start_vec = np.random.randint(-3,3, size=dim_hilbert)
59
60 ##verifica (conviene solo in dimensioni basse)
61 #print("Starting matrix:\n", start_mat)
62 #print("Starting vector:\n", start_vec)
63
64 krylov_basis, tridiag = lanczos(start_mat, start_vec, dim_krylov)
65
66 ##verifica (conviene solo in dimensioni basse)
67 #print("Orthonormal Krylov basis B:\n", krylov_basis)
68 #print("\nTridiagonal matrix T:\n", tridiag)
69
70 #autovalori esatti e approssimati
71 approx_eigenvals = np.sort(sp.linalg.eigvalsh(tridiag))
72 exact_eigenvals = np.sort(sp.linalg.eigvalsh(start_mat))
73 diff = exact_eigenvals[0]-approx_eigenvals[0]
74 print("\nExact ground state:\n", exact_eigenvals[0])
75 print("\nApproximate ground state:\n", approx_eigenvals[0])
76 print("\nError:\n", diff)
77 print("\nKrylov space dimension:\n", dim_krylov)

```

Listing 1: Codice Python per l'implementazione del metodo di Krylov e verifica della sua efficienza.

```

1 module parameters      !!non posso usare contains(subroutines), problemi nel compilare
2   logical :: periodic
3   integer :: lenght, dim_hilbert
4   integer, dimension(:, :, ), allocatable :: spin_states
5   real(8) :: g, lambda, lambdaAmul
6 end module parameters
7
8 program energy_gaps      !!programma per l'analisi dei gap energetici in ising quantistico 1D

```

```

9  use parameters
10 implicit none
11
12 integer :: i, j, itemp
13 integer :: kmax          !!parametro davidson, autovalore massimo che la routine trova
14 real(8) :: gap0, gap1, gap2, cputime
15 logical :: save_time, lenght_is_fixed
16 real(8), dimension(:), allocatable :: en
17 double complex, dimension(:), allocatable :: ground_state
18
19   lenght_is_fixed=.false.           !!se true devo mandare in input il campo, altrimenti
20   la lunghezza
21   save_time = .false.             !!printa il tempo di calcolo o no
22   periodic = .false.              !!condizioni al bordo
23   lambda = 0.d0                  !!campo longitudinale (0 per questo progetto)
24
25 if (lenght_is_fixed) then        !!inizializzo i parameteri a seconda dello scopo
26   lenght = 10                   !!lunghezza catena (costante)
27   read *, g                     !!campo trasverso (da mandare con script shell)
28 else
29   read *, lenght               !!lunghezza catena (da mandare con script shell)
30   g = 1.25d0                    !!campo trasverso (costante)
31 end if
32
33 dim_hilbert = 2**lenght      !!inizializzo i registri di spin
34 allocate(spin_states(dim_hilbert, lenght))
35 spin_states = 0
36
37 do i=1,dim_hilbert          !!codifica dei registri in binario: in ordine crescente
38   itemp = i-1                !!con codifica convenzionale da dx
39   do j=1,lenght
40     spin_states(i,lenght+1-j)=mod(itemp, 2)
41     itemp = itemp/2
42   end do
43 !print*, i,  spin_states(i, :)    !!verifica stati
44 end do
45
46 kmax = 4
47 allocate(ground_state(dim_hilbert))
48 allocate(en(kmax))
49
50 call davidson(dim_hilbert, kmax, en, ground_state)    !!trovo il ground state (funzione d'
51   onda)
52 if (lenght_is_fixed) then                                !!e i primi kmax livelli energetici
53   print *, g, en(1:kmax)
54 else
55   print *, L, en(1:kmax)
56 end if
57
58 if (save_time) then
59   call cpu_time(cputime)
60   print *, 'Total CPU time: ', cputime
61 end if
62
63 deallocate(spin_states, ground_state, en)
64
65 !!!!!!!!!!!!!!!!!!!!!!!!!!!!!!!!!!!!!!!!!!!!!!!!!!!!!!!
66
67 subroutine davidson(n, Kmax, Eigenvalue, EigenVector) !!non toccare
68 use parameters
69
70 implicit none
71 logical          UseGuess, Wanted
72 integer           kmax, jmax, jmin, maxstep, method, m, l, maxnmv, order, testspace, j, lwork, istate, ii
73   ,n,kmaxuser
74 real(8)           tol, lock, targetEn, Norm, emin, etemp
75 real(8), dimension(Kmax)                      :: EigenValue
76 double complex, dimension(n)                  :: EigenVector
77 double complex, dimension(:, ), allocatable :: alpha, beta, tmp, residu
78 double complex, dimension(:, :, ), allocatable :: eivec, zwork
79
80   !! INIZIALIZATION OF PARAMETERS !!
81 Useguess = .false.
82 KMaxUser = KMax

```

```

82 targetEn = -5.d0*lenght
83 tol = 1.d-9      ! Tolerance of the eigensolutions: $\| \beta H_{\{SB\}} x - \alpha x \| \leq tol
84 maxnmv = 100     ! Maximum number of matvecs in cgstab or gmres (very problem dependent;
85           typically choose in [5-100])
86 wanted = .true. ! If wanted=.true. then computes the converged eigenvectors
87 order = -1       ! Selection criterion for Ritz values: 0 (nearest to target); -1 (smallest
88           real part)
89 if(order == 0) testspace = 3 ! put 3 if a reasonable value for target is known, else take 2
90 if(order /= 0) testspace = 2
91
92 if (3*KmaxUser <= 20) jmax=20          ! Maximum size of the search space:
93 if (3*KmaxUser > 20) jmax=3*KmaxUser
94 jmin=2*KmaxUser                      ! Minimum size of the search space
95 maxstep = 1000                         ! Maximum number of Jacobi-Davidson iterations
96 lock = 1.d-12                          ! Tracking parameter
97 method = 2                            ! Method for the linear equation solver 1: gmres(m)
98   2: cgstab(1)
99 m = 30                                ! Maximum dimension of searchspace for gmres(m):
100 l= 2                                  ! Degree of gmres-polynomial in bi-cgstab(1):
101 if (method == 1) lwork = 4 + m + 5*jmax + 3*KmaxUser ! Size of workspace
102 if (method == 2) lwork = 10 + 6*l + 5*jmax + 3*KmaxUser ! KmaxUser is used since Kmax = 1
103           gives problems ...
104 !! END OF INIZIALIZATION !!
105
106 allocate (alpha(jmax), beta(jmax), eivec(n,Kmax))
107 Alpha=0.d0
108 Beta=0.d0
109 EiVec=0.d0
110 allocate (tmp(n), residu(n), zwork(n,lwork))
111 tmp=0.d0
112 residu=0.d0
113 zwork=0.d0
114
115 call JDQZ(ALPHA, BETA, EIVEC, wanted, n, targetEn, tol, Kmax, jmax, jmin, method, m, l,
116           maxnmv, maxstep, &
117           lock, order, testspace, zwork, lwork, UseGuess )
118
119 !      Computes the norms of the residuals:
120 do j = 1, Kmax
121   call AMUL ( n, eivec(1,j), residu )
122   call ZSCAL ( n, beta(j), residu, 1 )
123   call BMUL ( n, eivec(1,j), tmp )
124   call ZAXPY ( n, -alpha(j), tmp, 1, residu, 1 )
125 end do
126 deallocate (zwork,tmp,residu)
127 Eigenvalue(1:Kmax) = dReal(alpha(1:Kmax)/beta(1:Kmax))
128
129 !      Calculates the smallest eigenvalue (ground state)
130 emin=eigenvalue(1)
131 istate = 1
132 do ii=2,Kmax
133   if (eigenvalue(ii) < emin) then
134     emin=eigenvalue(ii)
135     istate = ii
136   end if
137 end do
138 if (istate /= 1) then
139   etemp=eigenvalue(1)
140   eigenvalue(1)=eigenvalue(istate)
141   eigenvalue(istate)=etemp
142 end if
143 deallocate (alpha,beta)
144
145 ! print *,'istate',istate
146 ! Chooses the eigenvector corresponding to the selected eigenvalue
147 EigenVector = eivec(:,istate)
148 Norm = Sum(dConjg(EigenVector)*(EigenVector))
149 EigenVector = EigenVector/(Norm**0.5d0)
150 deallocate (eivec)
151
152 end subroutine davidson
153
154 !!!!!!!!!!!!!!!!!!!!!!!!!!!!!!!!!!!!!!!!!!!!!!!!!!!!!!!!!!!!!!!!!!!!!!!
155
156 subroutine amul(n, psiIn, psiOut)      !!ausiliaria a Davidson, calcola |psiOut> = H*|psiIn>
157 use parameters                         !!unica cosa da modificare

```

```

153 implicit none
154 integer :: n, i, j, jtemp, temp_amul
155 double complex, dimension(dim_hilbert), intent(in) :: psiIn
156 double complex, dimension(dim_hilbert), intent(out) :: psiOut
157
158 psiOut = (0.0d0,0.0d0)
159
160 do i=1,dim_hilbert           !!interazione -sigma_z*sigma_z
161   do j=1,lenght-1
162     if (spin_states(i,j) == spin_states(i,j+1))    psiOut(i) = psiOut(i) - psiIn(i)
163     if (spin_states(i,j) /= spin_states(i,j+1))    psiOut(i) = psiOut(i) + psiIn(i)
164   end do
165 end do
166
167 if (periodic) then          !!condizioni periodiche
168   do i=1,dim_hilbert
169     if (spin_states(i,lenght) == spin_states(i,1))    psiOut(i) = psiOut(i) - psiIn(i)
170     if (spin_states(i,lenght) /= spin_states(i,1))    psiOut(i) = psiOut(i) + psiIn(i)
171   end do
172 end if
173
174 do i=1,dim_hilbert         !!campo longitudinale -sigma(z)
175   do j=1,lenght
176     if (spin_states(i,j) == 1)    psiOut(i) = psiOut(i) - lambdaAmul*psiIn(i)
177     if (spin_states(i,j) == 0)    psiOut(i) = psiOut(i) + lambdaAmul*psiIn(i)
178   end do
179 end do
180
181 do i = 1,dim_hilbert       !!campo longitudinale -sigma(x)
182   do j=1,lenght
183     jtemp = lenght +1 -j
184     if (spin_states(i,jtemp) == 1)  temp_amul = i -2***(j-1)
185     if (spin_states(i,jtemp) == 0)  temp_amul = i +2***(j-1)
186     psiOut(temp_amul) = psiOut(temp_amul) + g*psiIn(i)
187   end do
188 end do
189
190 end subroutine amul
191
192 subroutine bmul(neq, q, r)      !!tre subroutine ausiliarie qua sotto, servono per compilare
193   implicit none
194   integer :: neq
195   double complex :: q(neq),r(neq)
196
197   r=q
198
199 end subroutine bmul
200
201 subroutine Guess(N,X)
202   implicit none
203   integer :: n
204   double complex :: X( * )
205
206   X(1:n) = X(1:n)!PsiGuess(1:n) ! NOT IMPLEMENTED
207
208 end subroutine Guess
209
210 subroutine precon (neq,psi)
211   ! This subroutine computes $\\psi = K \\psi$, where $K$ is a matrix which mimics the
212   ! action of
213   ! $(H - \\tau \\mathbb{1})^{-1}$. Here $H$ is the Hamiltonian to be diagonalized, $\\tau$ is
214   ! the target
215   ! of the Davidson method, namely the value near which the eigenvalues are sought.
216   ! A zeroth order approximation is typically used: $K_{i,j} = \\delta_{i,j} (H_{i,i} - \\tau)^{-1}$
217   implicit none
218   integer :: neq
219   double complex :: psi(neq)
220
221   psi=psi
222
223 end subroutine precon
224
225 !!!!!!!!!!!!!!!!!!!!!!!!!!!!!!!!!!!!!!!!!!!!!!!!!!!!!!!

```

Listing 2: Script .f90 per la diagonalizzazione dell'Hamiltoniana.

```

1 #!/bin/bash
2 export LC_NUMERIC="en_US.UTF-8"          #sistema le virgole dei decimali
3                                     #i file vanno ottenuti compilando almeno una volta le
4 librarie
5 gfortran gaps.f90 davidson.guess.lib2.o lapack_tebd.lib.f -O2 -o gaps.x  #compila linkando i
6 file necessari
7
8 start=0.00
9 end=0.05
9 spacing=0.20
10
11 output_file="gaps_3.txt"      #mettere L prima di ogni run (gaps_L.txt), segnarsi se obc, pbc
12 : > "$output_file"           #pulisce il file
13
14 for g in $(seq $start $spacing $end); do          #loop per i valori del campo g desiderati
15   echo "Sending input g= $g to simulation"
16   echo "$g" | ./gaps.x >> "$output_file"        #pipe
17 done
18 echo "Done simulating"

```

Listing 3: Script .sh per automatizzare le misure a  $L$  fissato; lo script per le misure a campo trasverso  $g$  fissato segue essenzialmente la stessa logica.